

شناسایی miRNAهای دخیل در مسیر گل‌دهی گیاه چغندرقد (*Beta vulgaris* L.)

Identification of microRNAs involved in flowering pathway in sugar beet (*Beta vulgaris* L.)

میشانه عسگری^۱، اصغر میرزائی-اصل^{۲*}، محمدرضا عبداللهی^۳، لیلا خدائی^۴

تاریخ دریافت: ۹۷/۰۳/۱۱؛ تاریخ پذیرش: ۹۷/۰۷/۱۸

م. عسگری، ا. میرزائی اصل، م.ر. عبداللهی و ل. خدائی. ۱۳۹۷. شناسایی miRNAهای دخیل در مسیر گل‌دهی گیاه چغندرقد (*Beta vulgaris* L.). چغندرقد،
DOI: 10.22092/jsb.2019.122102.1199. ۱۶۳-۱۴۷:(۲)۳۴

چکیده

یکی از فرآیندهای کنترلی در بسیاری از گیاهان از جمله چغندرقد انتقال از مرحله رشد رویشی به زایشی می‌باشد که توسط شبکه پیچیده‌ای از پروتئین‌ها تنظیم می‌شود. تاکنون چندین مسیر تنظیمی دخیل در مسیر گل‌دهی و بولتینگ و ژن‌های مؤثر در آن‌ها در گیاه مدل آرابیدوپسیس شناسایی شده است. یک مسیر مؤثر در انتقال از مرحله رویشی به زایشی مسیر وابسته به سن است که تحت تاثیر دو *miRNA172* و *miRNA156* می‌باشد. ژن‌های کدکننده *miRNA*ها در بین گیاهان بسیار گسترده و حفاظت شده هستند. در این تحقیق، برای شناسایی توالی این دو ژن در ژنوم چغندرقد، توالی آن‌ها از چندین گیاه جمع‌آوری و با توالی‌های Refseq-genomic چغندرقد مورد هم‌ردیفی قرار گرفتند. نواحی با توالی مشترک شناسایی و اطلاعات آن‌ها به طور دقیق مورد بررسی قرار گرفت. نتایج نشان داد که در ژنوم چغندرقد برای ژن کدکننده *miR156* فقط ۱۲۷ جفت باز از کروموزوم شماره ۲ و ژن کدکننده *miR172* فقط ۱۱۰ جفت باز از کروموزوم شماره ۹ دارای توالی‌های کامل پیش‌ساز *miRNA* بودند. جداسازی ژن کدکننده *miR156* از ژنوم گیاه چغندرقد، با طراحی آغازگرهای اختصاصی از نواحی ابتدا و انتهای ژن انجام گرفت. ژن کدکننده *miR156* توسط تکنیک واکنش زنجیره‌ای پلیمرز و با استفاده از آغازگرهای اختصاصی MIRF و از روی DNA ژنومی چغندرقد تکثیر شد. همانگونه که انتظار می‌رفت قطعه DNA ۱۲۷ جفت باز تکثیر شد و در نهایت از طریق توالی‌یابی مشابهت ۹۹ درصدی توالی تکثیر شده با توالی شناسایی شده ژن کدکننده *miR156* به دست آمد و صحت توالی شناسایی شده به عنوان ژن کدکننده *miR156* در چغندرقد تأیید گشت. شناسایی و مطالعه این ژن‌های مؤثر در فرآیند گل‌دهی راه را برای قابلیت بررسی عملکرد دقیق آن‌ها در فرآیندهای گل‌دهی و بولتینگ چغندرقد خواهد گشود.

واژه‌های کلیدی: چغندرقد، ژن کدکننده، مسیر گل‌دهی، *miR172* *miR156*

*- نویسنده مسئول a.mirzaie@basu.ac.ir

۱- دکتری بیوتکنولوژی کشاورزی، دانشکده کشاورزی، دانشگاه بوعلی سینا، همدان، ایران

۲- دانشیار گروه بیوتکنولوژی کشاورزی، دانشکده کشاورزی، دانشگاه بوعلی سینا، همدان، ایران.

۳- دانشیار گروه اصلاح نباتات، دانشکده کشاورزی، دانشگاه بوعلی سینا، همدان، ایران.

۴- استادیار گروه کشاورزی، دانشگاه پیام نور همدان، همدان، ایران.

مقدمه

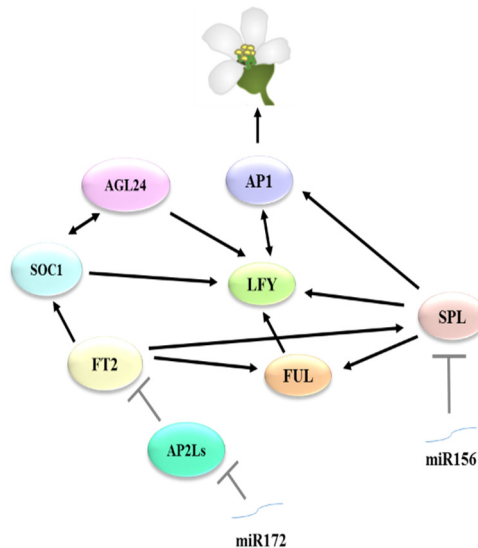
یکی از مراحل کلیدی مهم در گیاهان گل‌دار، انتقال از مرحله رویشی به زایشی می‌باشد که توسط شبکه پیچیده‌ای از پروتئین‌ها تنظیم می‌شود. این پروتئین‌ها مسئولیت دریافت و ترکیب سیگنال‌های محیطی و نموی برای پیشرفت یا ممانعت از رشد زایشی را بر عهده دارند (Bäurle and Dean 2006; Blázquez *et al.* 2001; Deng *et al.* 2011; Parcy 2005; Pin *et al.* 2012). یکی از این محصولات گل‌دار با اهمیت چغندرقد (*Beta vulgaris* L.) است که یک گیاه علفی، دولپه و دوساله از خانواده اسفناجیان (*Amaranthaceae*) می‌باشد. در چرخه زندگی چغندرقد، سال اول مرحله رویشی با تولید یک بوته برگی و یک ریشه بزرگ آغاز شده و در سال دوم، مرحله زایشی پس از طی یک دوره با دمای پایین با تشکیل ساقه‌های گل‌دهنده (بولتینگ) و گل‌دهی ادامه می‌یابد (Biancardi *et al.* 2005; Chia *et al.* 2008; Matthias *et al.* 1999). مسیری تنظیمی دخیل در گل‌دهی و بولتینگ در گیاه مدل آراییدوپسیس (*Arabidopsis thaliana*) شناسایی شده است (Jahanbakhsh-Pour *et al.* 2012; Mirzaie-Asl *et al.* 2017; Pin *et al.* 2012). از آنجا که اهمیت کشت چغندرقد در میزان رشد رویشی و مقدار ساکارز در ریشه آن می‌باشد، مطالعه فرآیند گل‌دهی و ژن‌های مؤثر در آن یکی از مباحث با اهمیت در اصلاح چغندرقد می‌باشد. فرآیند بولتینگ و گل‌دهی گیاه چغندرقد در سال اول عامل محدودکننده کشت پاییزه چغندرقد در برخی مناطق کشور است چرا که در تعدادی از روزهای زمستان، دمای هوا به کمتر از ۱۰ درجه سانتیگراد کاهش می‌یابد. قرارگیری این گیاه تحت شرایط دمای پایین منجر به ساقه‌روی و به تبع آن کاهش درصد قند، عملکرد ریشه و خلوص شربت خام

شده و مطلوب نیست (Hébrard *et al.* 2016; Kim *et al.* 2007; Michaels 2009; Pfeiffer *et al.* 2014; Sadeghian and Johansson 1992). با کنترل کامل بولتینگ و گل‌دهی امکان کشت پاییزه چغندرقد در عرض‌های جغرافیایی شمالی ایجاد می‌شود. این تغییر از یک محصول بهاره به زمستانه به زارعین امکان کشت محصول در پاییز را می‌دهد که این عامل موجب رشد بیشتر برگ‌ها در بهار و در نهایت افزایش رشد چغندرقد و محصول آن می‌شود. کشت بهاره چغندرقد نیاز آبی بالایی دارد و با کاهش منابع زیرزمینی و خشکسالی در ایران سطح زیر کشت بهاره چغندرقد در حال کاهش است.

پس از توالی‌یابی ژنوم ژنوتیپ KWS2320، محتوای DNA چغندرقد ۵۶۷ مگابایت تخمین زده شده است. همچنین، تعداد ۲۷۴۲۱ ژن کدکننده پروتئین از طریق اطلاعات ترانس‌کریپت در ژنوتیپ KWS2320 پیش‌بینی و براساس شباهت توالی تفسیر شده است (Dohm *et al.* 2012). در این میان، ژن‌های متعددی در انتقال به مرحله رشد زایشی دخالت دارند. طی مطالعات انجام گرفته در رقم‌های یکساله گیاه آراییدوپسیس زمستانه عوامل مختلفی شامل مسیر وابسته به سن (Age-related)، بهاره شدن (Vernalization)، فتو پریود (Photoperiod)، جیبرلیک اسید و مسیر خودمختار (Autonomous) در ورود به مرحله زایشی مؤثر می‌باشند (Kobayashi and Weigel 2007; Simpson 2004; Sung and Amasino 2004; Wang *et al.* 2008; Wang *et al.* 2009). یک مسیر مؤثر در انتقال از مرحله رویشی به زایشی مسیر وابسته به سن است که تحت تأثیر دو miR172 و miR156 می‌باشد. miRNAها (miR) مولکول‌های RNA کوچک (حدود ۲۲ نوکلئوتید) غیرکدکننده هستند که در گیاهان،

دارند. این فاکتورهای رونویسی موجب تسهیل انتقال به مرحله گل‌دهی با فعال‌سازی بیان ژن‌های *LFY* (*LEAFY*), *FUL* (*FRUITFULL*)، *SOC1* (*SUPPRESSOR OF*) و *API* (*OVEREXPRESSION OF CO1*)، *AGL24* (*AGAMOUS-LIKE24*) در جوانه انتهایی می‌شوند. همچنین، این فاکتورها در برگ، بیان *miR172* را فعال می‌کنند که الگوی بیانی مشابه *miR156* دارد و در طول بلوغ تجمع می‌یابد. در آراییدوپسیس *miR172* موجب گل‌دهی زود هنگام از طریق بازدارندگی ترجمه خانواده فاکتورهای رونویسی AP2-like می‌شود (Jung et al. 2007; Kim et al. 2012; Mlotshwa et al. 2006; Navarro et al. 2015) (شکل ۱).

حیوانات و برخی ویروس‌ها وجود دارند (Ambros 2004; Bartel 2004; Lau et al. 2001; Palatnik et al. 2003; Reinhart et al. 2002). miRها در فرآیندهای پیچیده سلولی نظیر خاموشی RNA، تنظیم پس از رونویسی بیان ژن و مرگ سلولی و همچنین در نمو برگ‌ها و گل‌ها دخالت دارند (Aukerman and Sakai 2003; Krol et al. 2004; Palatnik et al. 2003; Rana 2007; Schwarz and Zamore 2002; Xu et al. 2003). در آراییدوپسیس، *miR156*ها در مرحله رویشی به فراوانی وجود دارند و برش رونوشت‌های فاکتورهای رونویسی (*SPL*) *SQUAMOSA* را بر عهده



شکل ۱ نمایش برخی از ژن‌های مؤثر در فرآیند گل‌دهی تحت تأثیر *miR172* و *miR156* در چغندرقد. در مرحله رویشی *miR156* مانع از عمل فاکتورهای *SPL* می‌شود. فاکتورهای *SPL* موجب فعال‌سازی ژن‌های *LFY*، *FUL* و *API* و در نهایت تحریک ورود به مرحله زایشی می‌گردند. در حالت مقابل *miR172* مانع از عمل ژن‌های *AP2Ls* می‌شود. ژن‌های *AP2Ls* مانع از عمل *FT2* که محرک گل‌دهی است می‌گردد (Pin 2012).

گیاهی شناسایی شده‌اند که پس از پردازش *miR* ۴۸۸۸۵ بالغ تولید می‌شود. انواع مختلفی از *miR*ها در گیاهان از طریق

براساس یافته‌های پایگاه اطلاعاتی *miR* Registry (Release 22, June 2018)، ۳۸۵۸۹ *miR* از ۲۷۱ گونه

Vitis (انگور)، *Sorghum bicolor* (سورگوم)، *tabacum* (تنباکو)، *vinifera* (انگور) و ذرت (*Zea mays*) از پایگاه‌های اطلاعاتی NCBI (National Center for Biotechnology Information, <http://www.ncbi.nlm.nih.gov>) و miRBase (<http://www.mirbase.org>) به دست آمد. به منظور بررسی میزان تغییرات، توالی‌های miR از توالی‌های پیش‌ساز شناسایی و از طریق نرم‌افزار Lasergene برنامه MegAlign مورد هم‌ردیفی قرار گرفتند. از آنجا که ژنوم چغندرقد به طور کامل توالی‌یابی شده است، -refseq-genomicهای چغندر مرتبط با توالی‌های پیش‌ساز *miR156* و *miR172* هر یک از گیاهان، از طریق Blastn شناسایی و ذخیره شد. در صورتی که در هر توالی -refseq-genomic چندین ناحیه مشابه miR موردنظر وجود داشت، هر یک از آن‌ها به صورت جداگانه ذخیره شد. توالی‌های -refseq-genomic چغندرقد حاصل و توالی پیش‌ساز miR هر یک از گیاهان از طریق برنامه Seqman از نرم‌افزار Lasergene هم‌ردیف شدند. توالی‌های مشترک بین توالی‌های هم‌ردیف شده شناسایی و به عنوان miRهای موردنظر در چغندرقد در نظر گرفته شدند. همچنین، بررسی میزان شباهت توالی‌های چغندرقد و miRهای شناخته شده قبلی گیاهان ذکر شده با روش درخت فیلوژنتیک مورد مقایسه قرار گرفت. برای اطمینان از توالی‌های شناسایی شده مجدداً از Blastn در توالی سایر گیاهان استفاده شد. به منظور شناسایی توالی کامل هر یک از ژن‌های موردنظر، -refseq-genomicهای چغندر حاوی توالی ژن‌ها از پایگاه اطلاعاتی NCBI شناسایی و قسمت‌های مختلف آن‌ها از طریق هم‌ردیفی به طور کامل بررسی شد. پس از شناسایی توالی ژن کدکننده *miR156* از طریق توالی ژنوم چغندرقد موجود در پایگاه‌های اطلاعاتی، جداسازی آن از ژنوم گیاه چغندرقد از طریق طراحی

روش‌های متفاوتی از جمله غربال‌گری ژنتیکی، کلونینگ مستقیم و توالی‌یابی یک کتابخانه کوچک RNA، پیش‌بینی محاسباتی براساس توالی‌های کل ژنوم و آنالیز توالی نشانمند از ردیف (EST) شناسایی شده‌اند (Han et al. 2013; Wang et al. 2005; Zhang et al. 2006; Zhang et al. 2012). شناسایی محاسباتی miRها و اهداف آن‌ها در گیاهان و حیوانات تاکنون مسیر پیچیده تنظیم miRها و شرکت آن‌ها در کنترل بسیاری از فعالیت‌های بیولوژیکی اساسی در موجودات چند سلولی را آشکار ساخته است (Li et al. 2005).

اطلاعات و توالی‌های پیش‌ساز دو ژن کدکننده *miR156* و *miR172* در بسیاری از گیاهان شناسایی شده است، ولی با وجود اهمیت این دو ژن در فرآیند گل‌دهی در چغندرقد تاکنون هیچ گزارشی ثبت نشده است. در این مطالعه به منظور شناخت نقش miRهای مؤثر در بولتینگ و گل‌دهی چغندرقد که یکی از عوامل بازدارنده توسعه کشت پاییزه چغندرقد است، توالی‌های ژن‌های کدکننده *miR156* و *miR172* در ژنوم چغندرقد مورد شناسایی قرار گرفته است. مطالعه این ژن‌های دخیل در فرآیند گل‌دهی راه را برای قابلیت بررسی عملکرد دقیق آن‌ها در فرآیندهای گل‌دهی و بولتینگ چغندرقد خواهد گشود.

مواد و روش‌ها

ابتدا نسخه‌های مختلف توالی‌های پیش‌ساز *miR156* و *miR172* از قبل شناسایی شده، از ۱۱ گیاه مختلف شامل آناناس (*Ananas comosus*)، آرابیدوپسیس (*Arabidopsis*)، کاملیا (*Camellia sinensis*)، *Ceratopteris thalictroides* پرتقال (*Citrus sinensis*)، موز (*Musa*)، برنج (*Oryza sativa*)، توتون (*Nicotiana*)

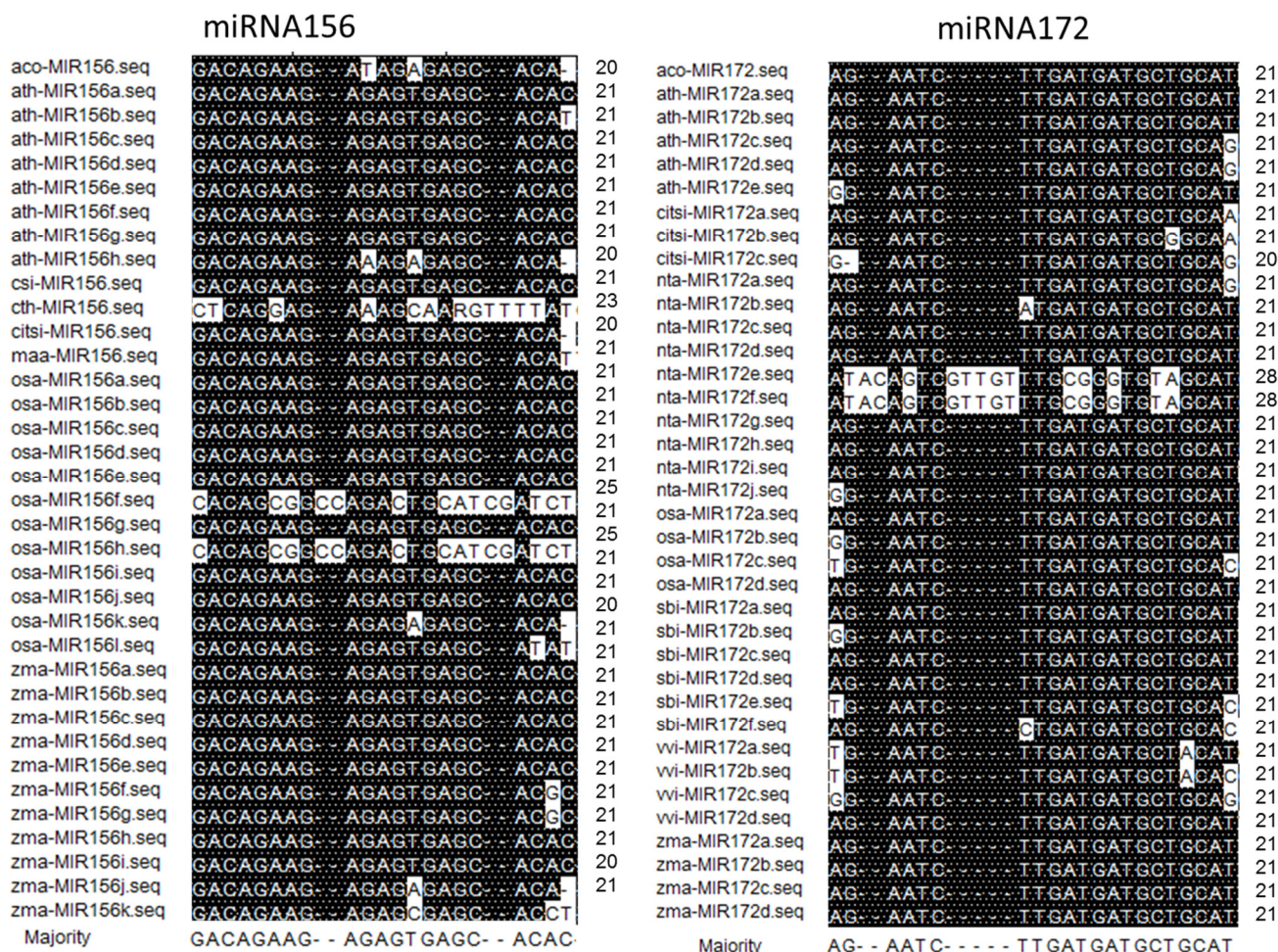
نتایج

تعداد ۳۶ توالی *miR172* از هشت گونه گیاهی از پایگاه‌های اطلاعاتی NCBI و miRBase جداسازی و ناحیه miR بالغ از این توالی‌های پیش‌ساز مورد هم‌ردیفی قرار گرفتند. همچنین، تعداد ۳۹ توالی *miR156* بالغ نیز در هشت گونه گیاهی مقایسه شدند. تعداد بازهای *miR156*‌های بالغ در گیاهان مختلف بین ۲۰-۲۵ نوکلئوتید متغیر است. برخی *miR156*‌های متعلق به گیاهان برنج و *Ceratopteris thalictroides* دارای بیشترین اختلاف نسبت به سایر گیاهان بودند و در سایر گیاهان اختلاف بسیار جزئی (در حد یک باز) بود. در بررسی *miR172* مشخص شد که دو *miR172e* و *miR172f* مربوط به گیاه توتون دارای بیشترین اختلاف نسبت به سایر *miR172*ها بودند. تعداد بازها در این دو *miR172* ۲۸ جفت‌باز می‌باشد، در حالی که *miR172*‌های بالغ در سایر گیاهان عموماً دارای ۲۱ باز می‌باشند و اختلافات بسیار جزئی و از نوع تک‌بازی می‌باشد (شکل ۲).

توالی‌های پیش‌ساز *miR156* و *miR172* مربوط به هریک از گیاهان ذکر شده در توالی‌های Refseq-genomic چغندر قند جستجو شد و توالی‌های همولوگ شناسایی گردید (جدول ۱ و ۲).

از بین ۳۹ قطعه شناسایی شده برای ژن کدکننده *miR156* بیشترین میزان شباهت بین توالی NC_025813 شناسایی شده از کروموزوم شماره دو چغندر قند، با *miR156* گیاهان آناناس، پرتقال، کاملیا و ذرت به دست آمد. در بین این گیاهان، بیشترین میزان شباهت توالی NC_025813 چغندر قند با *miR156* گیاه کاملیا به دست آمد. طول این قطعه توالی ژنومی چغندر قند ۴۰۳۹۳۳۸۹ جفت‌باز می‌باشد که ۱۲۷ باز آن کاملاً مشابه با توالی پیش‌ساز *miR156* گیاه کاملیا و ۸۵-۸۹ جفت‌باز نیز کاملاً مشابه با سه گیاه دیگر می‌باشد.

آغازگرهای اختصاصی انجام گرفت. در طراحی آغازگر رفت (MIRF) (5'- AAGAGGGAGGTGACAGAAGA -3') توالی بازی ابتدای 5' ژن کدکننده *miR156* و در طراحی آغازگر برگشت (MIRR) () 5'- (GAAAGGGAGAGAAGGGGAT -3') توالی بازی انتهای 3' ژن در نظر گرفته شد. استخراج DNA ژنومی از برگ‌های جوان گیاه چغندر قند رقم شوش توسط روش CTAB (Murray and Thompson 1980) صورت گرفت. سپس واکنش زنجیره‌ای پلیمرز با استفاده از آغازگرهای اختصاصی بر روی DNA چغندر قند با استفاده از دستگاه ترموسایکلر انجام شد. مخلوط واکنش زنجیره‌ای پلیمرز در حجم ۲۵ میکرولیتر شامل ۵۰ میلی مولار $MgCl_2$ ، ۲۰۰ میلی مولار dNTPs، از هر آغازگر ۱۰ پیکومول، ۱۰۰ نانوگرم DNA، ۰/۵ یونیت DNA Taq پلیمرز و ۲/۵ میکرولیتر از ۱۰ x PCR buffer تهیه شد. شرایط تکثیر، شامل ۵ دقیقه در ۹۴ درجه سانتی‌گراد به عنوان پیش دما، ۳۵ چرخه در دمای واسرشت‌سازی ۹۴ درجه سانتی‌گراد به مدت ۴۵ ثانیه، دمای اتصال آغازگرها ۵۸ درجه سانتی‌گراد به مدت ۳۰ ثانیه، دمای بسط ۷۲ درجه سانتی‌گراد به مدت ۳۰ ثانیه، و در نهایت ۵ دقیقه در ۷۲ درجه سانتی‌گراد به عنوان بسط نهایی استفاده گردید. سپس محصول واکنش بر روی ژل آگارز دو درصد مشاهده شد. قطعه DNA (ژن تکثیر شده) توسط آغازگرهای اختصاصی (MIRF و MIRR)، از روی ژل آگارز تخلیص و به منظور اطمینان از تطابق توالی تکثیر شده با توالی شناسایی شده ژن کدکننده *miR156* برای توالی‌یابی با استفاده از آغازگر رفت (MIRF) به شرکت Bioneer کره ارسال شد.



شکل ۲ بررسی میزان حفاظت‌شدگی توالی‌های *miR156* و *miR172* بالغ در گیاهان مختلف. *miR156*: *A. thaliana* (ath), *A. comosus* (aco), *A. sinensis* (citsi), *C. thalictroides* (cth), *C. sinensis* (csi), *M. AAB* (maa), *O. sativa* (osa) و *Z. mays* (zma). *miR172*: *A. thaliana* (ath), *A. comosus* (aco), *C. sinensis* (citsi), *C. thalictroides* (cth), *C. sinensis* (csi), *M. AAB* (maa), *N. tabacum* (nta), *O. sativa* (osa), *S. bicolor* (sbi), *V. vinifera* (vvi) و *Z. mays* (zma). (حروف a تا k مربوط به نسخه‌های مختلف ژن‌های *miR* در هر یک از گیاهان می‌باشد.)

توالی پیش‌ساز *miR172* گیاهان موردنظر بود. این در حالی است که توالی‌های ژنومی چغندرقدن دیگر از جمله NC_025818، NC_025813 و NW_011048314، دارای حدود ۳۰ جفت‌باز توالی مشترک از ناحیه ابتدایی پیش‌ساز *miR172* سایر گیاهان بودند.

از لحاظ ژن‌کدکننده *miR172*، از بین ۳۶ قطعه شناسایی شده، توالی چغندرقدن با شماره NC_025820 دارای توالی مشابه با توالی پیش‌ساز *miR172* سایر گیاهان مورد مقایسه شامل آناناس، آرابیدوپسیس، توتون، برنج و انگور بود. توالی NC_025820 در چغندرقدن با طول ۴۵۲۷۴۱۷۳ جفت‌باز روی کروموزوم شماره ۹ قرار دارد، که ۱۱۰ باز آن نسبتاً مشابه با

جدول ۱. مشخصات توالی‌های ژنومی چغندر قند حاصل از هم‌دیفی *miR156* شناخته شده گیاهان مختلف

گیاهان	توالی‌های پیش‌ساز miR (نوکلئوتید)	تعداد نتایج هم‌دیفی	شماره توالی‌های refseq-genomic با بیشترین میزان شباهت	E value	جهت	refseq-genomic	
						چغندر قند ابتدا	انتها
<i>Ananas comosus</i>	۴۹۵	۱۰۵	NC_025813a ^a	۵e-۰۹	+	۴۱۲۵۰۷۲	۴۱۲۵۱۶۴
			NC_025813b	۵e-۰۹	+	۴۱۳۳۹۹۲	۴۱۳۴۰۷۹
			NC_025813c	۲e-۰۷	+	۴۱۲۴۸۳۶	۴۱۲۴۹۳۴
			NC_025817	۰/۲۰	-	۵۴۶۴۴۳۶	۵۴۶۴۴۴۱۰
			NW_011048191	۰/۰۱۷	+	۴۱۳۲۵۲	۴۱۳۲۸۵
			NW_011048214	۲e-۰۷	+	۲۰۲۰۰۲۶	۲۰۲۰۰۶۶
			NW_011048295	۰/۲۰	-	۳۰۵۵۸۰۹	۳۰۵۵۷۸۳
			NW_011048467	۵e-۱۵	+	۲۵۷۵۷۲	۲۵۷۶۶۰
<i>Arabidopsis thaliana</i>	۸۲	۲۴	-	-	-	-	
<i>Camellia sinensis</i>	۱۳۲	۱۴۸	NC_025813	۵e-۲۷	-	۱۴۱۲۸۰۹۷	۱۴۱۲۷۷۷۲
			NW_011048201	۵e-۲۷	-	۱۶۷۴۳۶۳	۱۶۷۴۳۲۸
<i>Ceratopteris thalictroides</i>	۲۲۱	۱۷	NC_025817	۵e-۰۵	-	۷۱۷۴۶۱۷	۷۱۷۴۵۷۷
			NW_011048271	۵e-۰۵	-	۱۷۲۰۵۱۵	۱۷۲۰۴۷۵
<i>Citrus sinensis</i>	۱۰۳	۲۱	NC_025813	۰/۰۰۹	-	۱۴۱۲۸۰۸۴	۱۴۱۲۸۰۰۱
			NW_011048197	۰/۰۳۳	+	۹۱۴۹۸۶۳	۹۱۴۹۸۹۴
			NW_011048201	۰/۰۰۹	-	۱۶۷۴۳۵۰	۱۶۷۴۳۶۷
<i>Musa AAB</i>	۱۰۸	۴۹	NC_025818	۳e-۰۹	+	۱۱۰۹۰۹۷۹	۱۱۰۹۱۰۴۳
			NW_011048300	۳e-۰۹	+	۱۰۷۴۷۶۱	۱۰۷۴۸۲۵
			NW_011048314	۵e-۰۷	+	۸۰۹۹۲۳۷	۸۰۹۹۲۸۲
<i>Oryza sativa</i>	۷۴۰	۲۳	NC_025814	۴e-۰۶	+	۱۸۸۹۴۷۳۴	۱۸۸۹۴۷۶۴
			NC_025815	۰/۰۸۹	+	۳۳۳۰۲۲۹۷	۳۳۳۰۲۳۲۷
			NC_025817	۰/۳۱	+	۴۸۱۷۹۳۹	۴۸۱۷۹۶۰
			NW_011048223	۴e-۰۶	+	۱۲۰۲۶۳۸	۱۲۰۲۶۶۸
			NW_011048243	۰/۰۸۹	+	۳۵۹۸۰۹۹	۳۵۹۸۱۲۹
			NW_011048270	۰/۳۱	+	۲۷۹۷۰۴۳	۲۷۹۷۰۶۴
			NW_011048295	۰/۳۱	+	۳۰۵۵۷۸۶	۳۰۵۵۸۰۷
			NW_011048664	۰/۰۲۶	-	۶۶۰۵۳	۶۶۰۱۵
<i>Zea mays</i>	۷۶۴	۱۱۲	NC_025813a	۲e-۱۶	-	۱۴۱۲۸۰۸۷	۱۴۱۲۷۹۹۸
			NC_025813b	۳e-۱۴	-	۱۴۱۲۸۰۸۴	۱۴۱۲۸۰۰۱
			NC_025813c	۰/۳۲	+	۹۱۴۹۸۴۴	۹۱۴۹۸۹۴
			NC_025813d	۰/۳۲	+	۹۱۴۹۸۷۳	۹۱۴۹۸۹۴
			NC_025815	۰/۳۲	-	۱۵۶۸۹۵۷۰	۱۵۶۸۹۵۴۴
			NW_011048201a	۲e-۱۶	-	۱۶۷۴۳۵۳	۱۶۷۴۳۶۴
			NW_011048201b	۳e-۱۴	-	۱۶۷۴۳۵۰	۱۶۷۴۳۶۷
			NW_011048232	۰/۳۲	-	۲۱۷۲۳۹۶	۲۱۷۲۳۷۰
			NW_011048242	۰/۳۲	-	۱۱۴۳۰۴۵	۱۱۴۳۰۱۹
			NW_011048259	۰/۳۲	-	۳۵۶۱۰۱۴	۳۵۶۰۹۸۷
			NW_011048267	۰/۳۲	-	۶۱۵۶۵۲	۶۱۵۶۳۶
			NW_011048332	۰/۰۹۲	-	۴۹۸۲۱۱	۴۹۸۱۸۶
			NW_011048563	۰/۳۲	+	۲۱۱۴۰۰	۲۱۱۴۲۴

*حروف a تا d مربوط به حضور چندین توالی مشترک با miRهای گیاهان مختلف در بین Refseq-genomic چغندر قند می‌باشد.

جدول ۲ مشخصات توالی‌های ژنومی چغندرقد حاصل از هم‌دیفی *miR172* شناخته شده گیاهان مختلف

گیاهان	توالی‌های پیش‌ساز miR (نوکلئوتید)	تعداد نتایج هم‌دیفی	شماره توالی‌های refseq-genomic با بیشترین میزان شباهت	E value	جهت	refseq-genomic	
						چغندرقد ابتدا	انتهای
<i>Ananas comosus</i>	۲۱	۲۰۰	NC_025818	۰/۰۰۱	-	۴۰۹۸۰۰۴۵	۴۰۹۸۰۰۶۵
			NW_011048314	۰/۰۰۱	-	۷۲۴۸۵۳۳	۷۲۴۸۵۵۳
			NC_025813	۰/۰۰۴	+	۱۷۹۴۲۴۷	۱۷۹۴۲۶۶
<i>Arabidopsis thaliana</i>	۱۰۲	۷۶	NC_025820	۰/۰۰۴	-	۷۷۶۸۰۸	۷۷۶۸۲۷
			NW_011048396	۰/۰۳۳	+	۶۰۴۱۸۷	۶۰۴۲۱۴
			NC_025818	۰/۰۳۳	-	۴۰۹۸۰۰۴۱	۴۰۹۸۰۰۶۷
<i>Citrus sinensis</i>	۱۶۲	۷۸	NW_011048314	۰/۰۳۳	-	۷۲۴۸۵۲۹	۷۲۴۸۵۵۵
			NC_025820	۰/۰۳۳	-	۷۷۶۸۰۴	۷۷۶۸۳۰
			NC_025813	۳e-۰۶	+	۱۷۹۴۲۴۴	۱۷۹۴۲۸۳
<i>Nicotiana tabacum</i>	۱۱۷	۵۱	NC_025818	۰/۰۵۹	-	۴۰۹۸۰۰۶۷	۴۰۹۸۰۰۴۶
			NW_011048314	۰/۰۵۹	-	۷۲۴۸۵۳۴	۷۲۴۸۵۵۵
			aNC_025813	۳e-۰۴	+	۱۷۹۴۰۶۲	۱۷۹۴۰۹۵
<i>Oryza sativa</i>	۱۰۹	۳۲	bNC_025813	۲e-۰۵	+	۱۷۹۴۲۴۴	۱۷۹۴۲۷۶
			cNC_025813	۰/۰۰۳	-	۱۷۹۴۰۶۴	۱۷۹۴۰۹۲
			aNC_025818	۰/۰۱۱	-	۴۰۹۸۰۱۴۱	۴۰۹۸۰۱۷۱
			bNC_025818	۲e-۰۵	-	۴۰۹۸۰۰۴۰	۴۰۹۸۰۰۶۷
			NC_025820	۲e-۰۵	-	۷۷۶۸۰۰	۷۷۶۹۰۹
			NW_011048314a	۰/۰۱۱	-	۷۲۴۸۶۲۹	۷۲۴۸۶۵۹
			NW_011048314b	۲e-۰۵	-	۷۲۴۸۵۲۸	۷۲۴۸۵۵۵
			NW_011048198	۰/۰۱۱	-	۲۲۱۰۴۶	۲۲۱۰۶۸
			NW_011048767	۰/۰۳۹	+	۲۷۹۱۶	۲۷۹۴۲
			NC_025818a	۲e-۰۵	-	۴۰۹۸۰۰۳۸	۴۰۹۸۰۰۶۸
<i>Sorghum bicolor</i>	۱۰۲	۱۲۶	NC_025818b	۰/۰۳۶	+	۴۰۹۸۰۱۴۱	۴۰۹۸۰۱۷۲
			NW_011048314a	۲e-۰۵	-	۷۲۴۸۵۲۶	۷۲۴۸۵۵۶
			NW_011048314b	۰/۰۳۶	+	۷۲۴۸۶۲۹	۷۲۴۸۶۶۰
			.NC_025813	۰/۰۱۰	-	۱۷۹۴۰۶۰	۱۷۹۴۰۹۲
			NC_025820	۰/۰۱۰	+	۷۷۶۸۷۹	۷۷۶۹۱۱
<i>Vitis vinifera</i>	۱۱۰	۴۵	NC_025818	۰/۰۰۹	-	۴۰۹۸۰۰۴۵	۴۰۹۸۰۰۶۷
			NW_011048314	۰/۰۰۹	-	۷۲۴۸۵۳۳	۷۲۴۸۵۵۵
<i>Zea mays</i>	۸۳	۲۹	NC_025813a	۶e-۰۶	-	۱۷۹۴۲۳۸	۱۷۹۴۲۷۵
			NC_025813b	۲e-۰۴	-	۱۷۹۴۰۶۰	۱۷۹۴۰۹۵
			NC_025820	۷e-۰۵	-	۷۷۶۸۰۲	۷۷۶۹۰۷
			NC_025818	۸e-۰۴	+	۴۰۹۸۰۱۴۱	۴۰۹۸۰۱۷۲
<i>Zea mays</i>	۸۳	۲۹	NW_011048314	۸e-۰۴	+	۷۲۴۸۶۲	۷۲۴۸۶۶۰
			NC_025818	۰/۰۰۷	-	۴۰۹۸۰۰۴۵	۴۰۹۸۰۰۶۷
<i>Zea mays</i>	۸۳	۲۹	NW_011048314	۰/۰۰۷	-	۷۲۴۸۵۳۳	۷۲۴۸۵۵۵

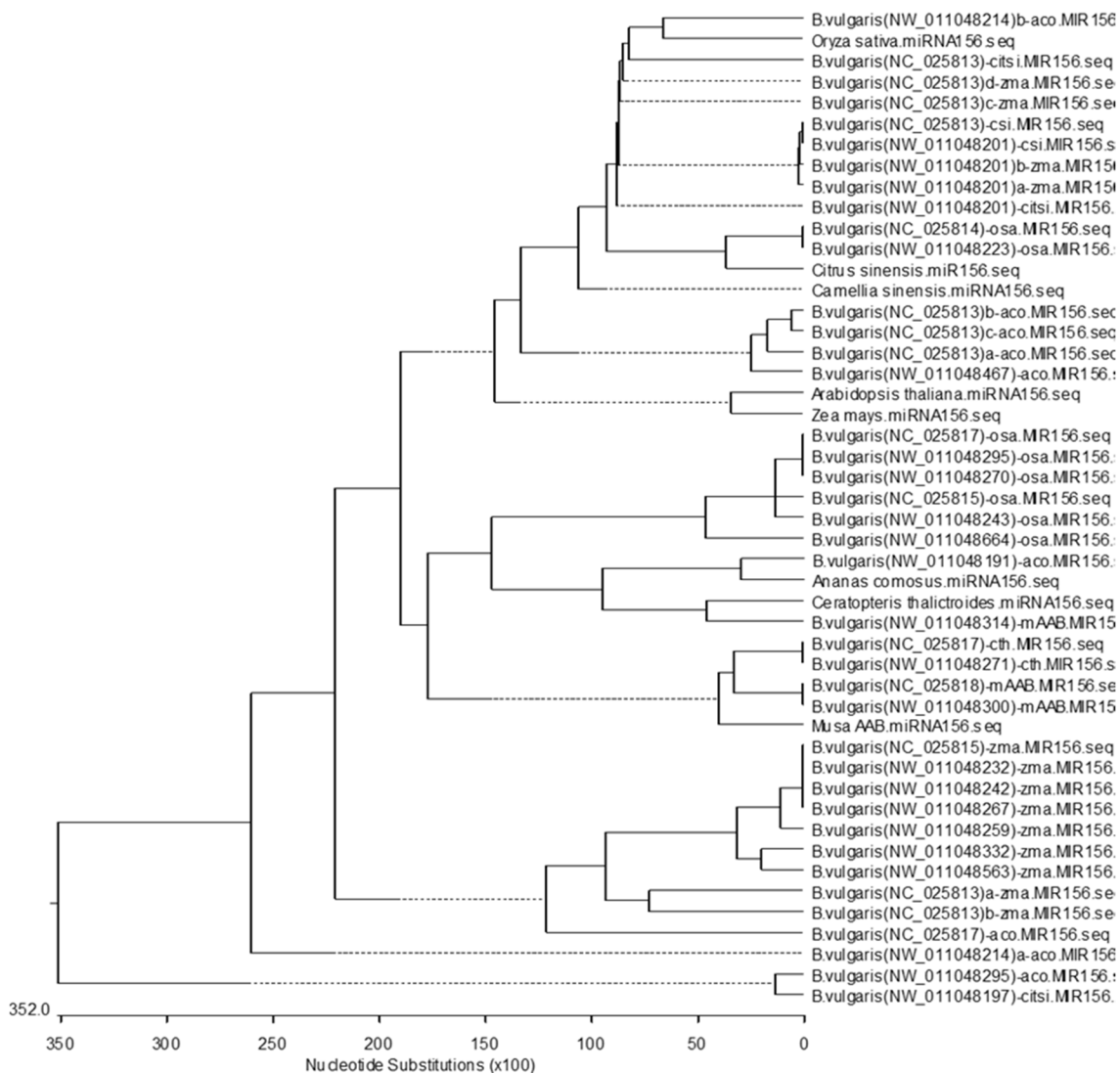
*حروف d تا a مربوط به حضور چندین توالی مشترک با miRNAهای گیاهان مختلف در بین Refseq-genomic چغندرقد می‌باشد.

درخت فیلوژنتیک انجام گرفت. از لحاظ *miR156* توالی
NC_025813 چغندرقد دارای بیشترین شباهت با توالی

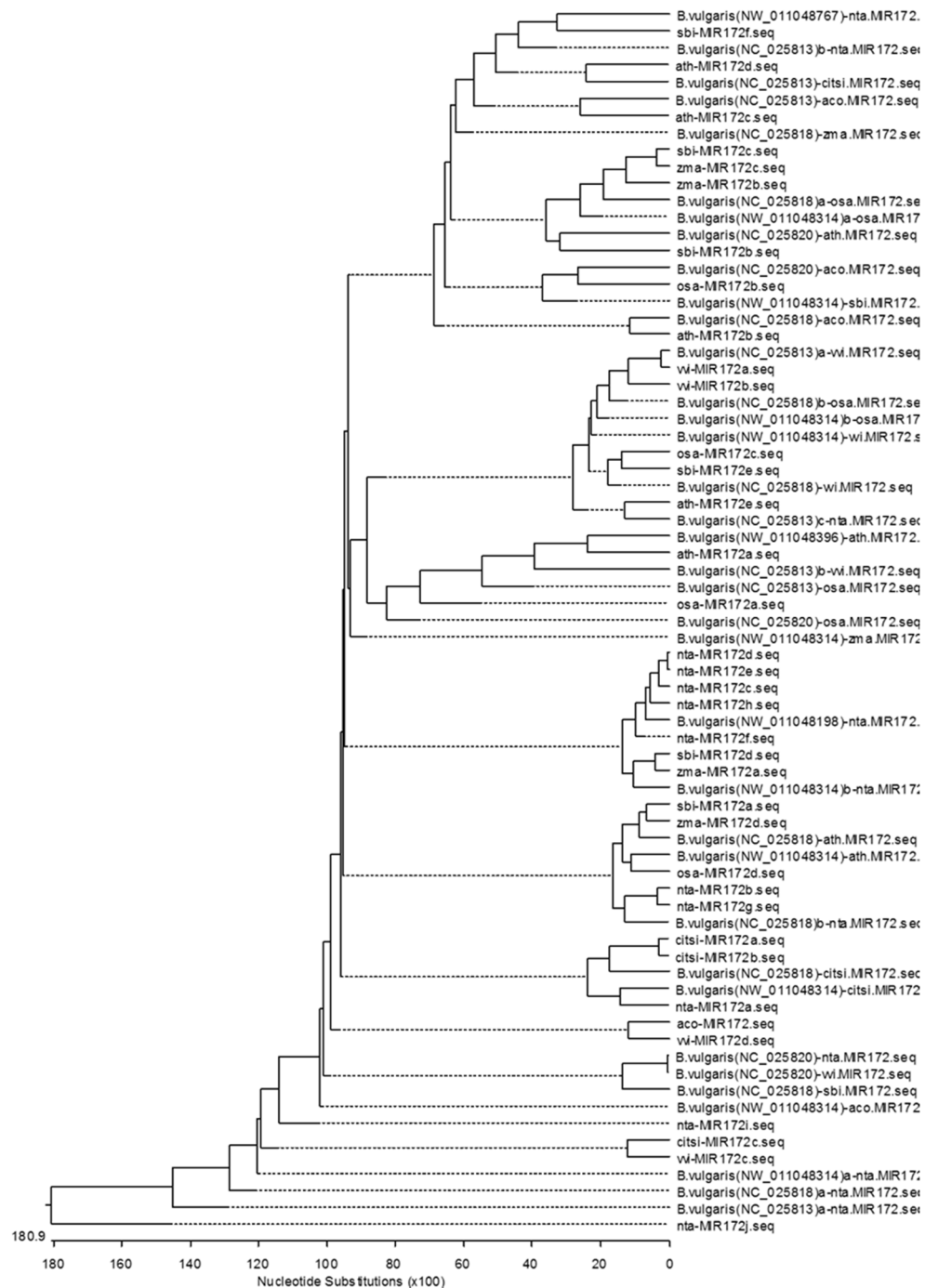
هم‌چنین، مقایسه توالی‌های *miR156* و *miR172* در
گیاهان مختلف و توالی‌های شناسایی شده در چغندرقد از طریق

دارای توالی مشابه با توالی پیش ساز *miR172* سایر گیاهان شامل
 آناناس، آرابیدوپسیس، توتون، برنج و انگور بود (شکل ۳ و ۴).

miR156 در سایر گیاهان مانند آناناس، پرتقال، کاملیا و ذرت بود.
 همچنین در مورد *miR172* توالی NC_025820 چغندر قند



شکل ۳ شباهت توالی های ژنومی چغندر قند و *miR156* های شناخته شده قبلی چند گیاه با روش درخت فیلوژنتیک. a. مقایسه توالی *miR156* موجود در چند گیاه (*O. M. AAB* (maa), *C. sinensis* (citsi), *C. thalictroides* (cth), *C. sinensis* (csi), *A. thaliana* (ath), *A. comosus* (aco)) با توالی های ژنومی چغندر قند. (حروف a تا k مربوط به نسخه های مختلف ژن های کدکننده *miR156* در هر یک از گیاهان می باشد).



شکل ۴ شباهت توالی‌های ژنومی چغندر قند و *miR172*های شناخته شده قبلی چند گیاه با روش درخت فیلوژنتیک. مقایسه توالی *miR172* موجود در چند گیاه (*V. vinifera*، *S. bicolor* (sbi)، *O. sativa* (osa)، *N. tabacum* (nta)، *C. sinensis* (citsi)، *A. thaliana* (ath)، *A. comosus* (aco)) و (*Z. mays* (zma) و (vvi)) با توالی‌های ژنومی چغندر قند. (حروف k تا a مربوط به نسخه‌های مختلف ژن‌های کدکننده *miR172* در هر یک از گیاهان می‌باشد).

توالی‌های چغندرقد که دارای توالی مشابه با سه گیاه کاملیا، پرتقال و ذرت بودند، کاملاً یکسان بوده و فقط بخشی از توالی مشابه گیاه آناناس دارای اختلافات جزئی با توالی مشابه سایر گیاهان می‌باشد. بنابراین توالی مشترک ژنوم چغندرقد با توالی ژن *miR156* در این گیاهان، به عنوان توالی اصلی ژن *miR156* بالغ در چغندرقد در نظر گرفته شد. (شکل ۵).



شکل ۵ تغییرات توالی‌های شناسایی شده *miR156* در گیاه چغندرقد مشابه توالی *miR156* گیاهان *C. sinensis* (csi)، *A. comosus* (aco) و *Z. mays* (zma) و *C. sinensis* (citsi)

ژن کدکننده *miR156* توسط تکنیک واکنش رنجیره‌ای پلیمرز و با استفاده از آغازگرهای اختصاصی MIRF و MIRR از روی DNA ژنومی چغندرقد تکثیر شد. تکثیر قطعه ژنی ۱۲۷ جفت‌باز در نمونه‌های DNA چغندرقد و عدم تکثیر آن در نمونه کنترل منفی (آب) تأییدی بر جداسازی این ژن از ژنوم چغندرقد بود (شکل ۷).

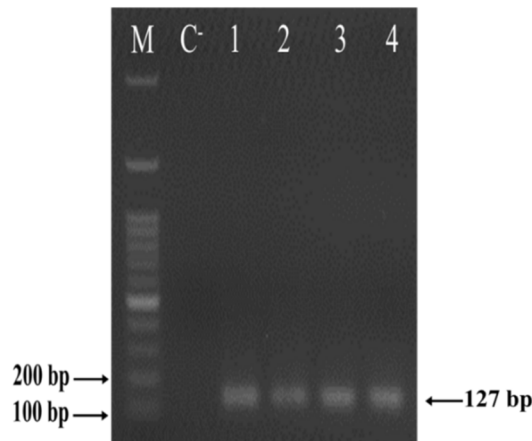
پس از تخلیص باندهای مشاهده شده بر روی ژل، توالی‌یابی قطعه DNA تکثیر شده با استفاده از آغازگر اختصاصی MIRF انجام شده و مشابهت با توالی شناسایی شده ژن کدکننده *miR156* را نشان داد (شکل ۸).

پس از شناسایی پیش‌ساز *miR156* در چغندرقد، مقایسه توالی اصلی *miR156* بالغ انجام گرفت. توالی‌های *miR156* موجود در توالی NC_025813 چغندرقد که مشابه با *miR156* گیاهان آناناس، پرتقال، کاملیا و ذرت بود با یکدیگر هم‌ردیف شدند. همانطور که در شکل مشاهده می‌شود همه توالی‌های مشابه دارای طول ۲۱ جفت‌باز می‌باشند و

پس از تأیید شباهت توالی NC_025820 چغندرقد با توالی‌های پیش‌ساز *miRNA172* در سایر گیاهان ذکرشده، مقایسه ناحیه اصلی *miRNA172* بالغ در این توالی‌ها انجام شد. مشاهده شد که همه توالی‌های ژنومی مورد بررسی در چغندر مشابه با توالی ژن *miR172* در گیاهان آناناس، آرابیدوپسیس، پرتقال، برنج، ذرت و سورگوم دارای یک ناحیه نسبتاً مشترک *miRNA172* با طول حدود ۲۱ جفت‌باز می‌باشند. توالی *miRNA172* چغندرقد مشابه با دو گیاه توتون و انگور دارای تفاوت‌های بیشتری نسبت به توالی‌های مشابه سایر گیاهان بود. در نهایت، توالی مشترک ژنوم چغندرقد مشابه با توالی ژن *miR172* در این گیاهان به عنوان توالی اصلی ژن *miR172* بالغ در چغندرقد در نظر گرفته شد (شکل ۶).

B.vulgaris (NW_011048332) -aco.MIR172.seq	- GAATCTTGATGATGCTGCAT
B.vulgaris (NC_025813) -aco.MIR172.seq	AGAATCTTGATGATGCTGCAT
B.vulgaris (NC_025818) -aco.MIR172.seq	AGAATCTTGATGATGCTGCAT
B.vulgaris (NC_025820) -aco.MIR172.seq	- GAATCTTGATGATGCTGCAT
B.vulgaris (NW_011048197) -aco.MIR172.seq	AGAATCTTGATGATGCTGCAT
B.vulgaris (NW_011048314) -aco.MIR172.seq	AGAATCTTGATGATGCTGCAT
B.vulgaris (NW_011048396) -ath.MIR172.seq	CATTTCITGTCGACCGTGTG
B.vulgaris (NC_025818) -ath.MIR172.seq	AGAATCTTGATGATGCTGCAT
B.vulgaris (NC_025820) -ath.MIR172.seq	CGAATCTTGATGATGCTGCAT
B.vulgaris (NW_011048314) -ath.MIR172.seq	AGAATCTTGATGATGCTGCAT
B.vulgaris (NW_011048332) -ath.MIR172.seq	CGAATCTTGATGATGCTGCAT
B.vulgaris (NW_011048314) -citsi.MIR172.s	AGAATCTTGATGATGCTGCAT
B.vulgaris (NC_025813) -citsi.MIR172.seq	AGAATCTTGATGATGCTGCAG
B.vulgaris (NC_025818) -citsi.MIR172.seq	AGAATCTTGATGATGCTGCAT
B.vulgaris (NW_011048197) -citsi.MIR172.s	AGAATCTTGATGATGCTGCAG
B.vulgaris (NW_011048767) -nta.MIR172.seq	AGAATCTTGATGATGCTGCAG
B.vulgaris (NC_025813) a-nta.MIR172.seq	---- GTITGCTGATGCAGGCAT
B.vulgaris (NC_025813) b-nta.MIR172.seq	AGAATCTTGATGATGCTGCAG
B.vulgaris (NC_025813) c-nta.MIR172.seq	TGAATCTTGATGCTGCTGCAT
B.vulgaris (NC_025818) a-nta.MIR172.seq	---- GTITGCAGATGCAGCAT
B.vulgaris (NC_025818) b-nta.MIR172.seq	AGAATCTTGATGATGCTGCAT
B.vulgaris (NC_025820) -nta.MIR172.seq	---- GTITGCTGATGCAGCAT
B.vulgaris (NW_011048197) a-nta.MIR172.se	---- GTITGCTGATGCAGGCAT
B.vulgaris (NW_011048197) b-nta.MIR172.se	AGAATCTTGATGATGCTGCAG
B.vulgaris (NW_011048198) -nta.MIR172.seq	---- TITGCAAGCTGACAAT
B.vulgaris (NW_011048314) a-nta.MIR172.se	---- GTITGCAGATGCAGCAT
B.vulgaris (NW_011048314) b-nta.MIR172.se	AGAATCTTGATGATGCTGCAT
B.vulgaris (NW_011048332) -nta.MIR172.seq	---- GTITGCTGATGCAGCAT
B.vulgaris (NW_011048332) -osa.MIR172.seq	TGAATCTTGATGATGCTGCAT
B.vulgaris (NC_025813) -osa.MIR172.seq	TGAATCTTGATGCTGCTGCAT
B.vulgaris (NC_025818) a-osa.MIR172.seq	AGAATCTTGATGATGCTGCAT
B.vulgaris (NC_025818) b-osa.MIR172.seq	TGAATCTTGATGATGCTGCAT
B.vulgaris (NC_025820) -osa.MIR172.seq	TGAATCTTGATGATGCTGCAT
B.vulgaris (NW_011048197) -osa.MIR172.seq	TGAATCTTGATGCTGCTGCAT
B.vulgaris (NW_011048314) a-osa.MIR172.se	AGAATCTTGATGATGCTGCAT
B.vulgaris (NW_011048314) b-osa.MIR172.se	TGAATCTTGATGATGCTGCAT
B.vulgaris (NW_011048314) -sbi.MIR172.seq	AGAATCTTGATGATGCTGCAT
B.vulgaris (NC_025818) -sbi.MIR172.seq	AGAATCTTGATGATGCTGCAT
B.vulgaris (NW_011048332) -vvi.MIR172.seq	----- ITGCTGATGCAGCAT
B.vulgaris (NC_025813) a-vvi.MIR172.seq	----- TATTGCCCTGCAAGCAT
B.vulgaris (NC_025813) b-vvi.MIR172.seq	TGAATCTTGATGCTGCTGCAT
B.vulgaris (NC_025818) -vvi.MIR172.seq	TGAATCTTGATGATGCTGCAT
B.vulgaris (NC_025820) -vvi.MIR172.seq	----- ITGCTGATGCAGCAT
B.vulgaris (NW_011048197) a-vi.MIR172.se	----- TATTGCCCTGCAAGCAT
B.vulgaris (NW_011048197) b-vi.MIR172.se	TGAATCTTGATGCTGCTGCAT
B.vulgaris (NW_011048314) -vvi.MIR172.seq	TGAATCTTGATGATGCTGCAT
B.vulgaris (NW_011048314) -zma.MIR172.seq	AGAATCTTGATGATGCTGCAT
B.vulgaris (NC_025818) -zma.MIR172.seq	AGAATCTTGATGATGCTGCAT
Majority	AGAATCTTGATGATGCTGCAT

شکل ۶ تغییرات توالی‌های شناسایی شده *miR172* در گیاه چغندر قند مشابه توالی *miR172* گیاهان *A. thaliana* (ath)، *A. comosus* (aco) و *Z. mays* (zma) و *V. vinifera* (vvi)، *S. bicolor* (sbi)، *O. sativa* (osa)، *N. tabacum* (nta) و *sinensis* (citsi)



شکل ۷ محصول حاصل از تکثیر قطعه مربوط به ژن کدکننده *miR156* با آغازگرهای طراحی شده بر روی ژل آگارز ۲ درصد، M: نشانگر وزن مولکولی (۱۰۰ جفت‌باز)، C: کنترل منفی (آب به عنوان الگو)، ۱-۴: قطعه تکثیر شده مربوط به ژن کدکننده *miR156*

Range 1: 1 to 127 Graphics		▼ Next Match ▲ Previous Match		
Score	Expect	Identities	Gaps	Strand
224 bits(248)	3e-64	126/127(99%)	0/127(0%)	Plus/Plus
Query 1	GGTAAGAGGGGAGGTGACAGAAAGAGAGTGAGCACACATGGTGCTTTTCTTGCATGAAATAT			60
Sbjct 1	GGTAAGAGGGGAGGTGACAGAAAGAGAGTGAGCACACATGGTGCTTTTCTTGCATGAAATAT			60
Query 61	GTGCTTGAAGCTATGCGTGCTCACCCCTCTATCTGTGACCCCCACTATCCCCCTTCTCTCCC			120
Sbjct 61	GTGCTTGAAGCTATGCGTGCTCACCCCTCTATCTGTGACCCCCACTATCCCCCTTCTCTCCC			120
Query 121	TTTCTCC			127
Sbjct 121	TTTGTCC			127

شکل ۸ مقایسه توالی قطعه تکثیر شده توسط واکنش زنجیره‌ای پلیمرز و توالی شناسایی شده ژن کدکننده *miR156*.

بحث

طول *plastochron* و تغییرات مرحله در آراییدوپسیس می‌باشند. در این گیاه، ۱۱ ژن از بین ۱۷ ژن *SPL* شناسایی شده دارای نواحی هدف برای اتصال به *miR156* می‌باشند. *miR156* پس از شناسایی این نواحی به آن‌ها متصل شده و با ایجاد شکاف در DNA مانع از ادامه فعالیت آنها در انتقال به مرحله زایشی می‌شود (Wang *et al.* 2009). مطالعات اخیر نشان می‌دهد *miR172* که توسط ژن‌های *SPL3*، *SPL4*، *SPL5* و *SPL9* مورد هدف *miR156* فعال می‌شود، بر فاکتورهای رونویسی AP2-like اثر می‌گذارد و این فاکتورها نیز به طور معکوس بیان FT در برگ‌ها را کنترل می‌کنند (Yant *et al.* 2010). در این مطالعه، شناسایی *miR* های دخیل در مسیر گل‌دهی چغندر قند به روش محاسباتی انجام گرفت. به دلیل اینکه توالی چغندر قند به طور کامل شناسایی شده است، از طریق مقایسه Refseq-genomic چغندر با توالی‌های *miR* در سایر گیاهان، توالی کامل این *miR* ها به طور کامل به دست آمد. در مورد *miR156* توالی NC_025813 در چغندر قند به دست آمد و هیچ توالی مشابه دیگری در ژنوم چغندر قند شناسایی نشد. همچنین در *miR172* توالی NC_025820 دارای توالی کامل پیش‌سازهای *miR* است و سایر توالی‌های شناسایی شده فقط دارای ناحیه اصلی *miR* بودند. نسخه‌های مختلف *miR156* های شناسایی

از آنجا که بررسی مسئله گل‌دهی و بولتینگ در بسیاری از گیاهان و به خصوص در چغندر قند از مباحث مهم و عمده کشاورزی نوین می‌باشد، شناسایی عوامل مؤثر و نقش هریک از آن‌ها در این مسیرها از اهمیت بالایی برخوردار می‌باشد. مطالعات پیشین در یوکاریوت‌ها نشان می‌دهد که انواع مختلفی از *miR* ها در فرآیندهای پیچیده کنترل و تنظیم بیان ژن دخیل می‌باشند. *miR* ها در سلسله گیاهی بسیار وسیع و حفاظت شده هستند و این احتمالاً نشان از یک جد مشترک در اوایل دوران تکامل می‌باشد (Zhang *et al.* 2006). روش‌های محاسباتی نشان می‌دهند که در آراییدوپسیس و دروزوفیلا یک درصد از ژن‌های کدکننده پروتئین را *miR* ها تشکیل می‌دهند. در صورتی که چنین شباهتی در ژنوم چغندر قند نیز موجود باشد، احتمالاً از بین ۲۷۴۲۱ ژن کدکننده پروتئین تعداد حدود ۲۷۴ ژن کدکننده *miR* در ژنوم چغندر قند موجود باشد. این ژن‌ها در فرآیندهای مختلفی دخالت دارند و تاکنون هیچ یک از آنها در چغندر قند شناسایی نشده‌اند. در مسیر گل‌دهی آراییدوپسیس، دو *miR* شامل *miR156* و *miR172* تاکنون شناسایی شده است که هر یک از آنها دارای نقش‌های متفاوتی می‌باشند. ژن کدکننده *miR156* و ژن‌های هدف آن شامل *SPL* ها از عوامل ژنتیکی اصلی مؤثر بر

عملکرد دقیق آن‌ها در فرآیندهای گل‌دهی و بولتینگ چغندر قند خواهد گشود. در صورتی که بتوان سازه مناسب برای کنترل گل‌دهی چغندر قند تهیه نمود که با وجود دوره سرمایی نسبتاً طولانی مانع از گل‌دهی گیاه چغندر قند شود، می‌توان از آن در تولید ارقام تراریخت مقاوم به بولتینگ استفاده نمود. در صورت تحقق این هدف، امکان تولید ارقام مقاوم به بولتینگ چغندر قند و توسعه کشت پاییزه چغندر قند در برخی مناطق که زمستان ملایمی دارند، فراهم می‌گردد.

شده همگی دارای ۲۱ جفت‌باز بوده، درحالی که در مورد *miR172* اختلاف miRNAهای شناخته شده بین ۱۵-۲۰ جفت‌باز بود. این نواحی شناسایی شده به عنوان *miR156* و *miR172* تشکیل ساختار stem-loop را می‌دهند که در انجام عملکرد آنها بسیار با اهمیت می‌باشد. در نهایت، شناسایی انواع مختلف miRNA دخیل در فرآیندهای مختلف بیولوژی و نواحی هدف این miRNAها از مباحث با اهمیت در شناسایی هرچه دقیق‌تر فرآیندهای مهم از جمله مسیر گل‌دهی در چغندر قند و سایر گیاهان خواهد بود. مطالعه این ژن‌های مؤثر در فرآیند گل‌دهی راه را برای قابلیت بررسی

References:

منابع مورد استفاده:

- Ambros V. The functions of animal microRNAs. *Nature* 2004; 431(7006): 350–355. Retrieved from <http://dx.doi.org/10.1038/nature02871>
- Aukerman MJ, Sakai H. Regulation of flowering time and floral organ identity by a MicroRNA and its APETALA2-like target genes. *Plant Cell* 2003; 15(11): 2730–2741.
- Bartel DP. MicroRNAs: genomics, biogenesis, mechanism, and function. *Cell* 2004; 116(2): 281–297.
- Bäurle I, Dean C. The timing of developmental transitions in plants. *Cell* 2006; 125(4): 655–664.
- Biancardi E, Campbell LG, Skaracis GN, De Biaggi M. Genetics and breeding of sugar beet. Science Publishers. 2005; Retrieved from <https://www.crcpress.com/Genetics-and-Breeding-of-Sugar-Beet/Biancardi-Biaggi-Campbell/p/book/9781578083664>
- Blázquez M, Koornneef M, Putterill J. Flowering on time: Genes that regulate the floral transition: Workshop on the molecular basis of flowering time control. *EMBO Reports* 2001; 2(12): 1078–1082.
- Chia TYP, Müller A, Jung C, Mutasa-Göttgens ES. Sugar beet contains a large CONSTANS-LIKE gene family including a CO homologue that is independent of the early-bolting (B) gene locus. *Journal of Experimental Botany* 2008; 59(10): 2735–2748.
- Deng W, Ying H, Helliwell CA, Taylor JM, Peacock WJ, Dennis ES. Flowering Locus C (FLC) regulates development pathways throughout the life cycle of Arabidopsis. *Proceedings of the National Academy of Sciences of the United States of America*, 2011; 108(16): 6680–6685.

- Dohm JC, Lange C, Holtgräwe D, Sörensen TR, Borchardt D, Schulz B, Lehrach H, Weisshaar B, Himmelbauer H. Palaeohexaploid ancestry for Caryophyllales inferred from extensive gene-based physical and genetic mapping of the sugar beet genome (*Beta vulgaris*). *Plant Journal* 2012; 70(3): 528–540.
- Han J, Kong ML, Xie H, Sun QP, Nan ZJ, Zhang QZ, Pan JB. Identification of miRs and their targets in wheat (*Triticum aestivum* L.) by EST analysis. *Genetics and Molecular Research* 2013; 12(3): 3793–3805.
- Hébrard C, Peterson DG, Willems G, Delaunay A, Jesson B, Lefèbvre M, Barnes S, Maury S. Epigenomics and bolting tolerance in sugar beet genotypes. *Journal of Experimental Botany* 2016; 67(1): 207–225.
- Jahanbakhsh-Pour MH, Paknejad F, Habibi D, Aghaezadeh M, Shahsavan-Baghdadi M. Effect of cycocel on decreasing of bolting in autumn planting of sugar beet in Karaj region. *Open Science Journal* 2012; 8(2): 137–146.
- Jung J-H, Seo Y-H, Seo PJ, Reyes JL, Yun J, Chua N-H, Park C-M. The GIGANTEA-Regulated MicroRNA172 mediates photoperiodic flowering independent of CONSTANS in Arabidopsis. *Plant Cell Online* 2007; 19(9): 2736–2748.
- Kim JJ, Lee JH, Kim W, Jung HS, Huijser P, Ahn JH. The microRNA156-SQUAMOSA promoter binding protein-like3 module regulates ambient temperature-responsive flowering via flowering Locus T in Arabidopsis. *Plant Physiology* 2012; 159(1): 461–478.
- Kim SY, Park BS, Kwon SJ, Kim J, Lim MH, Park YD, Kim DY, Suh SC, Jin YM, Ahn JH, Lee YH. Delayed flowering time in Arabidopsis and Brassica rapa by the overexpression of FLOWERING LOCUS C (FLC) homologs isolated from Chinese cabbage (*Brassica rapa* L. ssp. *pekinensis*). *Plant Cell Reports* 2007; 26(3): 327–336.
- Kobayashi Y, Weigel D. Move on up, it's time for change - Mobile signals controlling photoperiod-dependent flowering. *Genes & Development* 2007; 21(19): 2371–2384.
- Krol J, Sobczak K, Wilczynska U, Drath M, Jasinska A, Kaczynska D, Krzyzosiak WJ. Structural features of microRNA (miR) precursors and their relevance to miR biogenesis and small interfering RNA/short hairpin RNA design. *Journal of Biological Chemistry* 2004; 279(40): 42230–42239.
- Lau NC, Lim LP, Weinstein EG, Bartel DP. An abundant class of tiny RNAs with probable regulatory roles in *Caenorhabditis Elegans*. *Science* 2001; 294(5543): 858–862.
- Li Y, Li W, Jin Y-X. Computational identification of novel family members of microRNA genes in Arabidopsis thaliana and Oryza sativa. *Acta Biochimica et Biophysica Sinica* 2005; 37(2): 75–87.
- Matthias PO, Ulrike B, Sarah D, Rene HP, Marcus L, Claudia M, Detlef B. Overwintering of genetically modified sugar vulgaris L. subsp. vulgaris, as a source for dispersal of transgenic pollen. *Euphytica*. 1999; 108(3): 181–186.
- Michaels SD. Flowering time regulation produces much fruit. *Current Opinion in Plant Biology* 2009; 12(1): 75–80.
- Mirzaie-Asl A, Asgari M, Alimirzaie M. Evaluation of Flowering Pathways in Arabidopsis thaliana (in Persian). *Journal of Crop Biotechnology* 2017; 7(18): 57–72. Retrieved from http://ocam.journals.pnu.ac.ir/article_4207_652.html

- Mlotshwa S, Yang Z, Kim Y, Chen X. Floral patterning defects induced by Arabidopsis APETALA2 and microRNA172 expression in *Nicotiana benthamiana*. *Plant Molecular Biology* 2006; 61(4–5): 781–793.
- Murray HG, Thompson WF. Rapid isolation of high molecular weight DNA. *Nucleic Acids Research* 1980; 8, 4321–4325.
- Navarro C, Cruz-Oró E, Prat S. Conserved function of FLOWERING LOCUS T (FT) homologues as signals for storage organ differentiation. *Current Opinion in Plant Biology* 2015; 23 45–53.
- Palatnik JF, Allen E, Wu X, Schommer C, Schwab R, Carrington JC, Weigel D. Control of leaf morphogenesis by microRNAs. *Nature* 2003; 425(6955): 257–263.
- Parcy F. Flowering: A time for integration. *The International Journal of Developmental Biology* 2005; 49(5–6): 585–593.
- Pfeiffer N, Tränkner C, Lemnian I, Grosse I, Müller AE, Jung C, Kopisch-Obuch FJ. Genetic analysis of bolting after winter in sugar beet (*Beta vulgaris* L.). *Theoretical and Applied Genetics* 2014; 127(11): 2479–2489.
- Pin PA, Zhang W, Vogt SH, Dally N, Büttner B, Schulze-Buxloh G, Jelly NS, Chia TY, Mutasa-Göttgens ES, Dohm JC, Himmelbauer H, Weisshaar B, Kraus J, Gielen JJ, Lommel M, Weyens G, Wahl B, Schechert A, Nilsson O, Jung C, Kraft T, Müller AE. The role of a pseudo-response regulator gene in life cycle adaptation and domestication of beet. *Current Biology* 2012; 22(12): 1095–1101.
- Pin P. Life cycle and flowering time control in beet. Dissertation, Department of Forest Genetics and Plant Physiology, Umeå. 2012.
- Rana TM. Illuminating the silence: Understanding the structure and function of small RNAs. *Nature Reviews Molecular Cell Biology* 2007; 8(1): 23–36.
- Reinhart BJ, Weinstein EG, Rhoades MW, Bartel B, Bartel DP. MicroRNAs in plants. *Genes & Development* 2002; 16(13): 1616–1626.
- Sadeghian SY, Johansson E. Genetic study of bolting and stem length in sugar beet (*Beta vulgaris* L.) using a factorial cross design. *Euphytica* 1992; 65(3): 177–185.
- Schwarz DS, Zamore PD. Why do miRs live in the miRNP? *Genes & Development* 2002; 16(9): 1025–1031.
- Simpson GG. The autonomous pathway: Epigenetic and post-transcriptional gene regulation in the control of Arabidopsis flowering time. *Current Opinion in Plant Biology* 2004; 7(5): 570–574.
- Sung S, Amasino RM. Vernalization in Arabidopsis thaliana is mediated by the PHD finger protein VIN3. *Nature* 2004; 427(6970): 159–164.
- Wang CM, Liu P, Sun F, Li L, Liu P, Ye J, Yue GH. Isolation and identification of miRs in *Jatropha curcas*. *International Journal of Biological Sciences* 2012; 8(3): 418–429.
- Wang JW, Schwab R, Czech B, Mica E, Weigel D. Dual effects of miR156-targeted SPL genes and CYP78A5/KLUH on plastochron length and organ size in Arabidopsis thaliana. *Plant Cell Online* 2008; 20(5): 1231–1243.

- Wang JW, Czech B, Weigel D. MiR156-regulated SPL transcription factors define an endogenous flowering pathway in *Arabidopsis thaliana*. *Cell* 2009; 138(4): 738–749.
- Xu P, Vernooij SY, Guo M, Hay BA. The drosophila microRNA mir-14 suppresses cell death and is required for normal fat metabolism. *Current Biology* 2003; 13(9): 790–795.
- Yant L, Mathieu J, Dinh TT, Ott F, Lanz C, Wollmann H, Chen X, Schmid M. Orchestration of the floral transition and floral development in *Arabidopsis* by the bifunctional transcription factor *Apetala2*. *Plant Cell Online* 2010; 22(7): 2156–2170.
- Zhang B, Pan X, Cobb GP, Anderson TA. Plant microRNA: A small regulatory molecule with big impact. *Developmental Biology* 2006; 289(1): 3–16.
- Zhang BH, Pan XP, Wang QL, Cobb GP, Anderson TA. Identification and characterization of new plant microRNAs using EST analysis. *Cell Research* 2005; 15(5): 336–360.